



尚唯科技报告资源服务系统

Sunway Science & Technology Report Service System

尚唯科技报告资源服务系统 使用技巧及资源探索

Training on Sunway Science & Technology Report Service System



重庆尚唯信息技术有限公司

CHONGQING SUNWAY INFORMATION TECHNOLOGY CO.,LTD

目录/Contents

01

科技报告文献

02

科技报告制度体系建设
&美国四大报告简介

03

平台介绍

04

操作演示

01

科技报告文献



定义及特点 & 分类 & 对比 & 作用

科技报告定义及特点

Definition and Feature

阿波罗计划-高级载人空间飞行系统的可行性研究

第1卷 “概要与结论”

目录

第一章 简介	I-1
第二章 背景	II-1
1.0 研究基础	II-1
1.1 主要指导方针总结	II-1
1.2 研究方法	II-4
第三章 研究结论和成果	III-1
1.0 结论	III-1
2.0 成果	III-2
2.1 任务完成情况	III-7
第四章 研发项目荟萃	IV-1
1.0 概况	IV-1
2.0 地面试验	IV-7
3.0 飞行试验	IV-7
4.0 飞船飞行试验	IV-9
5.0 项目组织	IV-12

第9卷 “阿波罗项目实施计划”

1.0 总结	I-1
2.0 目标、要求和时间表	I-5
3.0 项目管理和系统集成	I-33
3.1 阿波罗项目计划	I-41
3.2 技术方向	I-42
3.3 预算控制和合同要求	I-44
3.4 预算评估和规划方案	I-49
4.0 工程方案	I-61
4.1 规格	I-65
4.2 设计程序	I-72
5.0 可靠性方案	I-79
6.0 生产方案	I-119
6.1 推进模块的制造方案	I-128
6.2 制造或采购方案	I-129
6.3 制造流程方案	I-130
6.4 生产控制	I-137
7.0 质量控制方案	I-139
7.1 质量总体控制和测试项目	I-139
7.2 质量测试	I-149
7.3 制造过程中的质量控制	I-168
8.0 集成试验和评估项目方案	I-179
8.1 试验基本原理	I-183
8.2 地面试验	I-184
8.3 阶段飞行试验	I-188
8.4 阿波罗-土星飞行试验	I-189
9.0 主要阶段飞行项目	I-221
10. 地面支持设备、场地校验、场地设施和后勤支持	I-243
10.1 场地设施计划	I-270
10.2 后勤支持计划	I-316
11.0 训练和教导计划	I-327
11.1 飞行机组	I-327
11.2 地面机组	I-329
11.3 科学和咨询专家	I-329

科技报告

定义：

科技报告是指科技人员为了描述其从事的科研、设计、工程、试验和鉴定等活动的过程、进展和结果，按照规定的标准格式编写而成的特种文献。

特点：

- ✓ 有**严格的编写规范**，但一般不经过同行专家评审和专业编辑人员审查。
- ✓ 内容详尽，**专业性强**，不受篇幅限制，附有图表、数据、研究方法等信息，涉及或覆盖科研的全过程。
- ✓ 出版周期不固定，**时效性强**；
- ✓ 具有严格的密级划分和使用范围限制。

科研人员依据科技报告中的描述，能够**重现**研究过程或**了解**研究结果。

按科技报告反映的研究阶段

- ◆ 研究过程中的报告:现状报告、预备报告、中间报告、进展报告、非正式报告;
- ◆ 研究工作结束时的报告:总结报告、终结报告、试验结果报告、竣工报告、正式报告、公开报告等。

...

按报告的文献形式

- ◆ 报告书, 是一种比较正式的文件;
- ◆ 札记, 研究中的临时记录或小结;
- ◆ 论文, 准备在学术会议上或期刊上发表的报告;
- ◆ 备忘录, 供同一专业或同一机构中的少数人沟通信息用的资料;
- ◆ 通报, 对外公布的、内容较为成熟的摘要性文件;

...

文献类型展示

Category

报告类型	
科技报告	季度报告
	年度报告
	中期报告
	最终报告
	合同户报告
	备忘录
	计划文件
	札记
	简报
	演示稿
	总结报告
	管理报告
	技术译文

其他类型	
其他文献	出版物
	会议文献
	期刊论文
	学位论文
	手册
	数据集
	标准
	专利
	皮书
	新闻稿
	图书
	多媒体
其他	

科技报告与期刊论文对比

Comparison

产生过程

期刊论文
研究者通过承接项目或自主研发后，将研究或思考**成果**公开发表到期刊出版物上。

科技报告
由政府资助，研究机构、高校或大型企业等承接项目，并根据项目研究过程或资助方要求不定期提交各类报告。

篇幅长度

期刊论文
篇幅较短，概括论述，内容**精炼**。一些期刊论文往往就是研究者承接的项目结题后的综述报告。

科技报告
以长篇居多，包含**丰富**的数据、事实、现象等素材，通过跟踪一个项目的多个报告，能完整揭示一个项目的研发过程。

时效性

期刊论文
项目完成后，根据项目保密要求，研究人员梳理相关文档整理后公开发表，**周期较长**。

科技报告
根据项目研究进度或资助方要求提供进度报告，按保密要求确定是否公开。非密报告的获取比较**及时**。

文献内容

期刊论文
涉及各类思想、方法、讨论、**结论**等。通过期刊论文，能够知道一个项目已经完成了。

科技报告
完整记录一个项目的研究**过程**，包含研究人员的心得等，通过跟踪科技报告，能够知道一个项目是如何完成的。

科技报告作用

Value

科技报告持续积累所形成的国家基础性战略资源，既为科技管理部门提供决策信息支撑，又为科研人员提供创新信息保障，还能保证社会公众对政府科研投入产出的知情权。



科技
管理
部门

在项目中期检查、结题验收阶段形成的科技报告可用于**对项目实施进展、过程、成果和真实性进行实时检验**，有利于增加科研工作的透明度，利于杜绝虚假行为。同时，利用科技报告进行立项查重，可以有效的、深层次的**避免不同科研管理体系中的重复立项**，减少财政资金浪费。



科研
人员

科研报告对科研具有巨大的参考价值，是一种重要的参考文献。对科技报告完整保存和充分开发利用，**可以避免重复研究，提高后续研究的技术起点，提升科研效率和科研投入效益。**



社会
公众

科技报告将**成为国家财政科技投入所产出成果的新的展示方式**，为社会公众提供了解、利用科技计划项目和成果的新渠道，也有利于全社会对政府科技投入成果的了解和共享。



承担
单位

科技报告是**建立机构知识库的重要基础**，通过科技报告的撰写和在机构的保存，积累机构技术资产，防止因人员流动造成的技术资产流失。

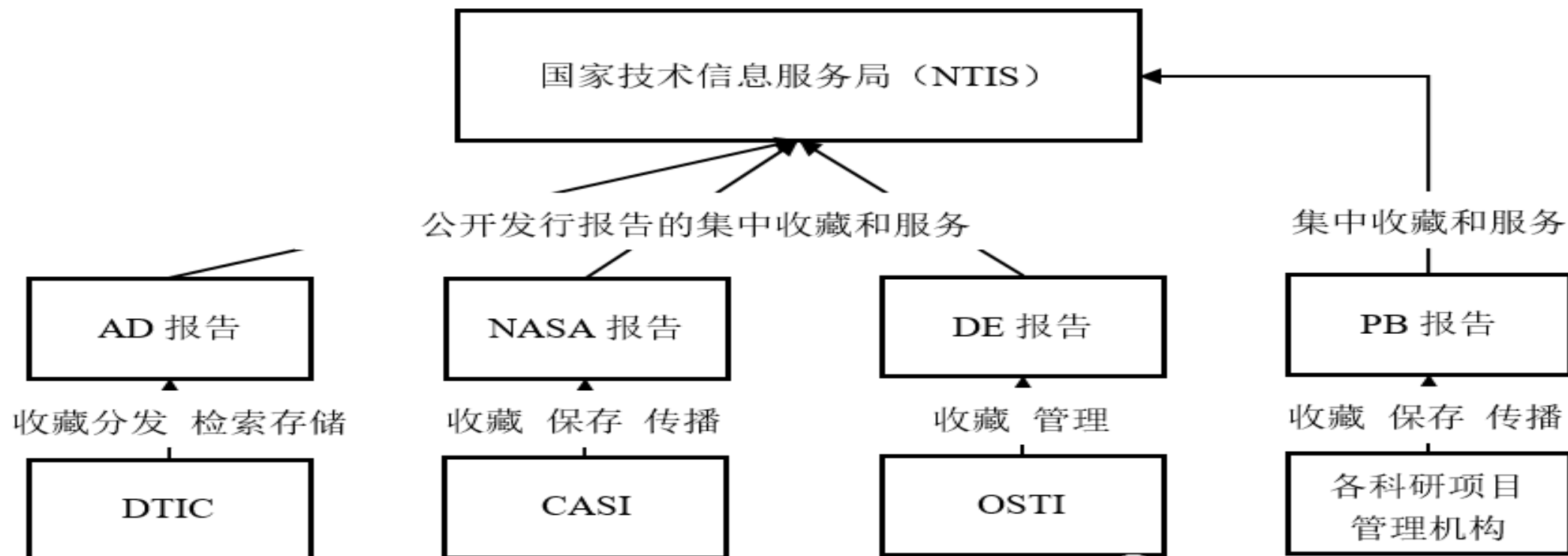
02

科技报告制度体系建设 &美国四大报告简介

美国科技报告制度简介 & 美国四大报告 & 中国科技报告制度简介

美国国家科技报告制度建设概况

1945年美国第9568号总统令成立国家技术信息出版局（NTIS），标志着美国开始有组织地开展政府科技报告工作。美国科技报告体系是世界上最为完善和全面的，建立了“**联邦+部门+项目承担单位**”三级组织管理体系。包括国防部AD报告、商务部PB报告、航空航天局NASA报告和能源部DE报告四大体系，AD、NASA、DE报告由各部门承担保密和解密工作，公开和解密的部分交NTIS公开发布，目前每年产生60-80万份科技报告，发行6万多公开科技报告，占全世界科技报告总量80%左右。



美国科技报告制度

1

美国科技报告制度比较完善。建立了“联邦政策法规+各部门规章制度+项目承担单位规章制度”三级法规制度体系。

2

美国联邦采购条例（FAR）明确规定：凡承包由联邦政府拨款资助超过25,000美元的所有项目都应保留其非保密记录，所有研发合同承包商必须向联邦政府提交合格的科技报告（含该项目中形成的其他文献）。

3

能源部的科技信息管理导则（STIM）明确规定了科技报告的提交范围、类型、方法等，规定从合同签订后最迟不超过6个月，即要提交该项目的第一份科技报告。

美国四大报告

PB报告

1945年6月美国成立商务部出版局，负责整理、公布从第二次世界大战战败国获取的科技资料，并编号出版，号码前统一冠以"PB"字样。PB报告的内容绝大部分属科技领域，包括基础理论、生产技术、工艺、材料等。70年代以后，侧重于民用工程技术。

AD报告

美国国防部所属研究所及其合同户的技术报告均由当时的美国武装部队技术情报局(ASTIA)整理，并在规定的范围内发行。AD报告即为这个情报局出版的文献。PB、AD报告的主要检索工具为美国《政府报告通报和索引》。

NASA报告

美国国家航空与宇宙航行局拥有的研究机构产生的技术报告。主要内容为：空气动力学、发动机及飞行器结构、材料、试验设备、飞行器的制导及测量仪器等。主要检索工具为《宇航科技报告》(STAR)。

DE报告

1946年美国建立原子能委员会，简称AEC；1975年该委员会改名为能源研究与发展署(简称ERDA)；1977年该署又改组扩大为美国能源部(简称DOE)，1978年7月起逐渐改为冠以DOE的科技报告。内容仍以原子能为重点。其主要检索工具为《核子科学文摘》，继之为《能源研究文摘》。

中国科技报告制度建设

2013年，国家颁布《国家科技计划科技报告管理办法》，此后，相关政策法规陆续出台，共同构成了中国科技报告制度的顶层设计文件，对科技报告的类型、职责分工机制、公开机制、开放共享、编写规范等作出明确规定。

政策法规名称	出台年份	属性
国家科技计划科技报告管理办法	2013	科技计划科技报告专项管理办法
科技报告保密等级代码与标识(GB/T30534-2014)	2013	科技报告保密等级标识规范
科学技术报告编号规则(GB/T15416-2014)	2013	科学技术报告编号规则(GB/T15416-2014)
科学技术报告编写规则(GB/T 7713.3-2014)	2013	科技报告撰写规范
科技报告元数据规范(GB/T 30535-2014)	2013	科技报告元数据规范
关于加快建立国家科技报告制度的指导意见	2014	科技报告顶层制度

中国科技报告制度建设

北京市科学技术委员会关于印发《北京市科技计划科技报告管理办法(试行)》的通知

字号：大 中 小

京科发〔2017〕235号

各有关单位：

依据《国务院办公厅转发科技部关于加快建立国家科技报告制度指导意见的通知》（国办发〔2014〕43号）《北京市深化市级财政科技计划(专项、基金等)管理改革实施方案》（京政办发〔2016〕55号），为推动北京市科技计划科技报告的统一呈交、规范管理和共享使用，北京市科学技术委员会研究制定了《北京市科技计划科技报告管理办法（试行）》。2017年12月29日，经市科委第23次主任办公会审议通过，现印发你们，请遵照执行。

北京市科学技术委员会

2017年12月29日

第三章 工作要求

第八条 项目(课题)立项阶段：

(一)申报单位根据科技计划类别、研究性质和资助强度，在《北京市科技计划项目(课题)实施方案》和《任务书》中明确提出呈交科技报告的类型、时间节点和最低数量。

(二)市科委审核确认承担单位须呈交的科技报告类型、时间和数量等有关条款，作为项目(课题)的考核指标。

第九条 项目(课题)实施和验收(结题)管理阶段：

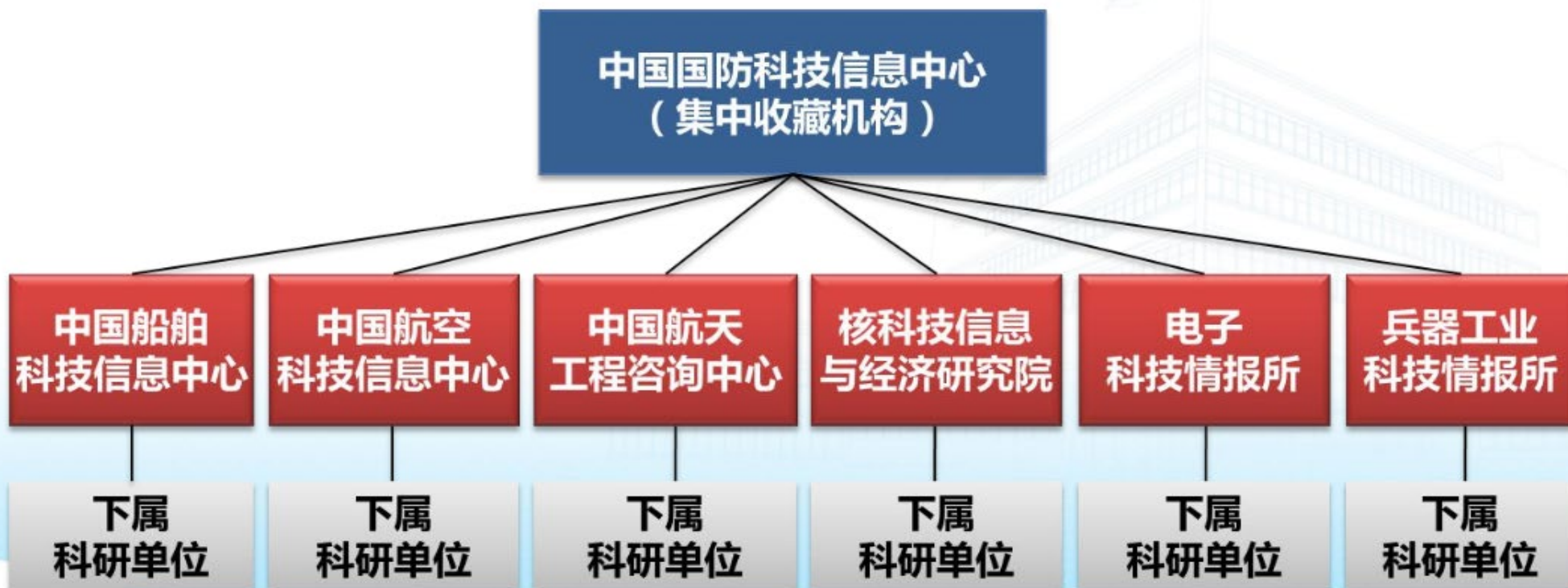
(一)项目(课题)负责人撰写并呈交科技报告，提出科技报告密级和保密期限、延期公开和延期公开时限。

(二)承担单位对科技报告的编号、格式、内容、密级和保密期限、延期公开和延期公开时限等进行审核，确保科技报告内容真实完整，格式规范，并按时通过规定的渠道和方式呈交科技报告。

(三)市科委及时检查科技报告撰写和呈交情况，对科技报告密级和保密期限、是否延期公开和延期公开时限等进行审查和确认。

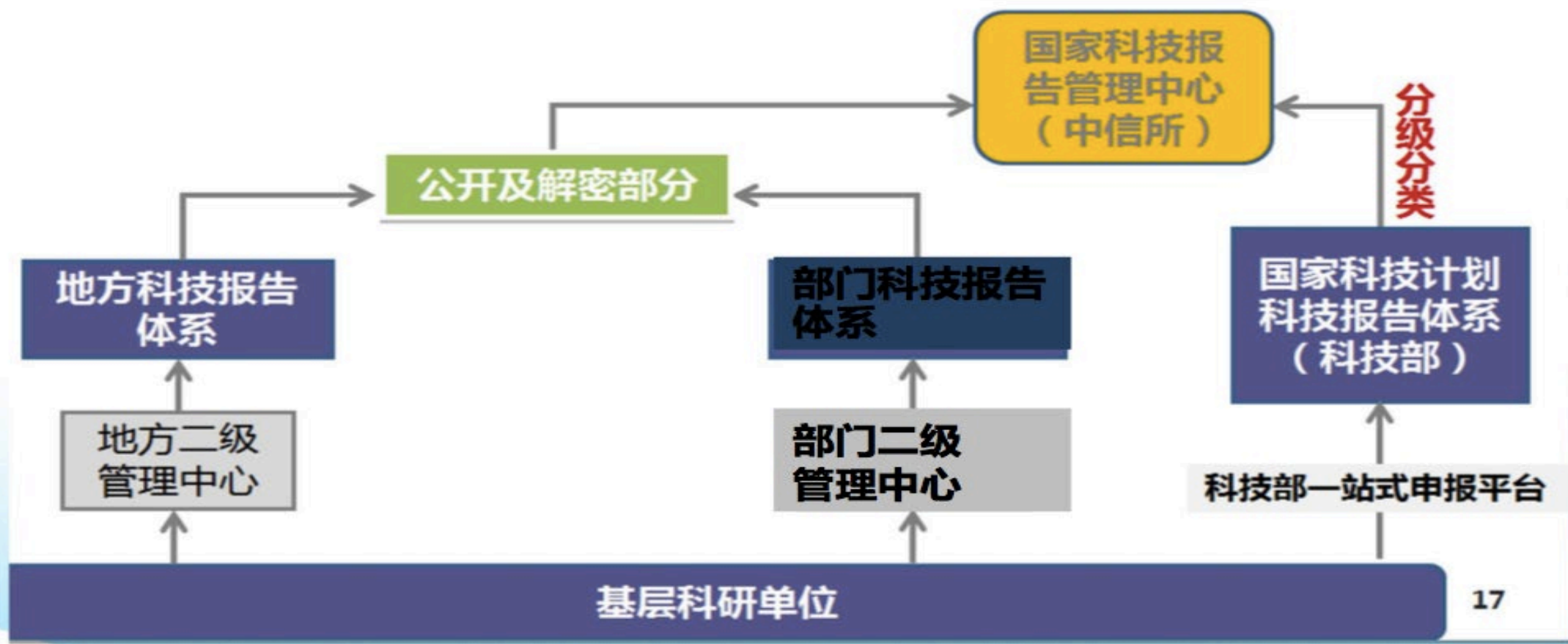
中国国防科技报告（GF报告）建设概况

1984年原国防科工委开始建立国防科技报告体系，2000年我国国防科技报告体系纳入《中国人民解放军装备条例》管理，初步建立国防科技报告体系。**中国国防科技信息中心**是GF报告的集中收藏机构，建立三级组织体系，分别负责国防系统、国防各行业、各基层单位科技报告工作。



国家科技报告制度建设—组织管理体系

规范流程，明确责任，初步形成组织管理体系





社会公众 (直接点击进入)

向社会公众无偿提供科技报告摘要浏览服务

社会公众不需要注册，即可通过检索科技报告摘要和基本信息，了解国家科技投入所产出科技报告的基本情况。

专业人员 (经实名注册后登录进入)

向专业人员提供在线全文浏览服务

专业人员需要实名注册，通过身份认证即可检索并在线浏览科技报告全文，不能下载保存全文。科技报告作者实名注册后，将按提供报告页数的15倍享有获取原文推送服务的阅点。

管理人员 (实名注册并由管理部门批准后登录进入)

向各级科研管理人员提供统计分析服务

管理人员需实名注册，并通过科研管理部门批准后，享有检索、查询、浏览、全文推送以及批准范围内的相应统计分析等服务。

报告导航(171272)

科学技术部 35674

交通运输部 769

国家自然基金委员会 22521

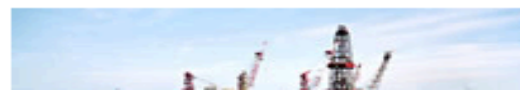
众筹加强科技管理及改革工作意见和建议

国家科技计划

重点科技成果转化推广信息发布

为加快实施国家创新驱动发展战略，按照促进科技成果转移转化行动的部署，科技部以国家“863”、“973”、国家科技支撑计划等财政科技计划产生的科技成果为重点，汇总发布一批符合产业转型升级方向、先进适用的科技成果，涉及新一代信息、能源、现代农业、高端装备与先进制造等11个技术领域。旨在通过需求导向和市场选择方式，引导企业、地方、社会资本和各类机构参与，推动一批科技成果转化与示范推广，促进科技成果转化为现实生产力，支撑产业转型升级与经济结构调整，更好发挥科技创新对供给侧结构性改革的支撑和引领作用。

技术领域



03

平台介绍

尚唯科技报告资源服务系统 & 产品基本情况 & 功能介绍

《尚唯科技报告资源服务系统》平台介绍

Sunway Science & Technology Report Service System



主要收录国外科技报告, 报告来源于美国四大报告为用户提供科技报告这一特种文献的一站式检索查询、原文传递以及信息挖掘服务。

数据情况:

收录年限: 1900 - 今

题录数量: > 485万

全文数量: > 410万

文档格式: PDF

更新周期: 中心网站和镜像网站季度更新

每年增量 (预估): 3-5万份

产品基本情况

Basic Information



数据情况：

收录年限： 1900 – 今

题录数量： > 510万

全文数量： > 410万

文档格式： PDF

更新周期： 中心网站和镜像网站季度更新

每年增量（预估）： 3-5万份

报告来源

美国四大报告（航空航天局的NASA报告、能源部的DE报告、国防部的AD报告、商务部的PB报告），以及美国国家科学院、日本宇宙航空研究开发机构、荷兰国家学术研究与合作信息系统、IBM公司、兰德公司、加州大学伯克利分校、哥伦比亚大学、UNT数字图书馆、美国国家农业图书馆、世界银行组织、国际货币基金组织等机构。



系统首页设有多个板块，包含页面导航、快速检索、Banner、知识图谱入口、主题分类、编译报告、科技热词、科研项目、研究机构；

您欢迎访问尚唯科技报告资源服务系统！为了更好地体验产品，建议使用谷歌浏览器或火狐浏览器！

尚唯科技报告资源服务系统
Shangwei Science & Technology Report Service System

系统首页 | 主题分类 | 研究机构 | 科研项目 | 知识图谱 | 高级检索

报告名称 请输入检索关键词

A bottom-up perspective on photodynamics and photoprotection in light-harvesting complexes using anti-Brownian trapping

Single-molecule fluorescence spectroscopy allows direct, real-time observation of dynamic photophysical changes in light harvesting complexes. The Anti-Brownian Electrokinetic (ABEL) trap is one such single-molecule method with useful advantages. This approach is particularly well-suited to make detailed spectroscopic...

发布日期: 2022-01-25

知识图谱
Energy Storage, Lunar Soil, Nuclear Fusion, Unmanned, Dark Matter, VR, Internal Combustion Engine, Electronic Warfare

主题分类 Subject Navigation

- 物理学
- 材料科学
- 生物及医学
- 能源与动力工程
- 燃料
- 工程学
- 化学
- 环境科学
- 地球科学

编译报告 Translated Reports

- Materials and Fuels Complex Operations Management Improvement...
- Optimizing Ventilation Using Low-Cost Sensors to Improve Health, Safety,...
- The Rise of Micro-Training Related to User Applications of New Satellite...
- Training, Retention, and Transfer of Data Entry Perceptual and Motor...
- Airspace Technology Demonstration 2 (ATD-2) Phase 2 Technology...
- Fuser and Fuser in the Cloud

科技热词 Hot Words

人工智能 核聚变 月球 放射性物质 空间站 阿雷西博 能源存储

- Co-Design of Free-Space Metasurface Optical Neuromorphic Classifiers for High...
- Tutorial: Machine Learning and Artificial Intelligence in Batteries
- Hybrid electric buses fuel consumption prediction based on real-world driving data
- ResNet and CycleGAN for pulse shape discrimination of He-4 detector pulses: Recovering...
- Differentiable programming for online training of a neural artificial viscosity function within ...
- Adapting a Model of Emotional State Recognition to Detect Stress in a High-Noise...

科研项目 Research Projects

- UBC: Saving young lives: Triage and management...
- UT: Characterizing the inflammatory and cardia...
- NIH: IDENTIFYING BIOMARKERS AND NOVEL...
- UA: Avian behaviour, ecology and energetics

研究机构 Research Institutions

- Los Alamos National Laboratory**
机构名: Los Alamos National Laboratory
国别: US
类型: 实验室
简介: Los Alamos National Laboratory (often shortened as Los Alamos and LANL) is a United States Department of Energy national laborat...
- Oak Ridge National Laboratory**
机构名: Oak Ridge National Laboratory
国别: US
类型: 实验室
简介: Oak Ridge National Laboratory (ORNL) is a U.S. multiprogram science and technology national laboratory sponsored by the U.S. Dep...
- Boeing**
机构名: Boeing
国别: US
类型: 企业
简介: The Boeing Company (/ˈboʊɪŋ/) is an American multinational corporation that designs, manufactures, and sells airplanes, rotorcraft, r...

功能介绍

Function Introduction

系统首页

主题分类

研究机构

科研项目

知识图谱

高级检索

您好!欢迎访问尚唯科技报告资源服务系统!为了更好地体验产品,建议您使用谷歌浏览器或火狐浏览器!

用户手册 | 切换旧版 | ENGLISH | 数据统计 | 进度查询 | 登录

尚唯科技报告资源服务系统
Sunway Science & Technology Report Service System

系统首页 | 主题分类 | 研究机构 | 科研项目 | 知识图谱 | 高级检索

报告名称 | 请输入检索关键词 | 开始检索

您的位置: 首页 - 主题分类列表

- 材料科学 Materials 更多 ▾ 共有473,524篇
- 各国技术译文 Foreign Technology 更多 ▾ 共有808篇
- 化学 Chemistry 收起 ▲ 共有231,084篇
 - 综合 General 更多 ▾
 - 分析与分离化学 Analytical & Separations Chemistry 收起 ▲
 - 活化和核反应程序
 - 化学程序
 - 放射性测量和放射化学程序
 - 光谱程序
 - 分离程序
 - 无机及物理化学 Inorganic & Physical Chemistry 收起 ▲
 - 化学和物理化学性质
 - 同位素效应
 - 同位素交换和同位素分离
 - 有机化学 Organic Chemistry 收起 ▲
 - 化学和物理化学性质
 - 同位素效应
 - 同位素交换和同位素分离
 - 电化学 Electrochemistry 更多 ▾
 - 光化学 Photochemistry 更多 ▾
 - 辐射化学 Radiation Chemistry 更多 ▾
 - 辐射化学与核化学 Radiochemistry & Nuclear Chemistry 更多 ▾

从美国的四大报告为切入,结合多国的科技报告特点,深度分析科技报告字段特征,融合构建贴合科技报告的主题分类体系,形成了32个一级主题,347个二级主题以及707个三级主题。

报告列表页

提供年度结果统计表，展示报告出版的年份和数量信息，同时提供来源机构、分类信息、主题词、年份和文档类型的**分组聚类**，还可以进行全文、译文、目录条件**筛选**，使检索结果更加精确。

✓ 多维聚类, 查询更精准 (新增年度结果、文档类型聚类)

✓ 信息一目了然 (题录摘要列表展示)

您的位置: 首页 - 科技报告列表

报告名称: opp 查找找到 15 条, 检索耗时 0.59 秒

年度结果

年份	数量
2019	2
2010	2
2006	1
2002	3
1989	1

来源机构

<input type="checkbox"/> PB	9
<input type="checkbox"/> DOE	5
<input type="checkbox"/> DOD	1

分类信息

<input type="checkbox"/> 环境科学	3
<input type="checkbox"/> 化学	1
<input type="checkbox"/> 交通运输	1
<input type="checkbox"/> 图书馆和信息科学	1

主题词 [更多](#)

报告名称: opp

必要 报告名称 模糊

必要 报告号 模糊

开始年份 — 结束年份

查新引用格式 有全文 有译文 有目录

排序: 时间 ↓ | 匹配 ↓ | 1 / 2 ▶

[期刊论文]-β-Functionalized push-pull opp-dibenzoporphyrins as sensitizers for dye-sensitized solar cells: the role of the...
报告号: - 发布时间: 2019-04-24
作者: Hu, Yi Webre, Whitney A. Moss, Austen Hancock, Sarah N. Schaffner, Jacob
摘要: Push-pull opp-dibenzoporphyrins with a phenylethynyl bridge were newly synthesized as sensitizers for dye-sensitized solar cells, giving power conversion efficiencies up to 6.7%, close to that of the N719 dye under similar conditions.

[期刊论文]-β-Functionalized push-pull opp-dibenzoporphyrins as sensitizers for dye-sensitized solar cells: the role of the...
报告号: - 发布时间: 2019-01-01
作者: Hu, Yi Webre, Whitney A. Moss, Austen Hancock, Sarah N. Schaffner, Jacob
摘要: Push-pull opp-dibenzoporphyrins with a phenylethynyl bridge were newly synthesized as sensitizers for dye-sensitized solar cells, giving power conversion efficiencies up to 6.7%, close to that of the N719 dye under similar conditions.
关键词: [Chemistry](#) [Energy & Fuels](#) [Materials Science](#)

[期刊论文]-β-Functionalized Push-Pull opp -Dibenzoporphyrins as Sensitizers for Dye-Sensitized Solar Cells
报告号: - 发布时间: 2017-09-26
作者: Hu, Yi Yellappa, Shivaraj Thomas, Michael B. Jinadasa, R. G. Waruna Matus, Alex Shulman, Max D'Souza, Francis Wang, Hong
摘要: Not provided.
关键词: [Chemistry](#)

报告类型	更多
+ 报告	154
+ 期刊论文	33
+ 学位论文	22
+ 会议文献	21
+ 手册	12



[札记]-ARPA/NASA/NSF CO-OP 3D Project: An Experiment in Distributed Supercomputing and Satellite Networking.

报告号: P897169361 发布时间: 1997-01-01

作者: Boyd, W. S. Powers, J. G.

摘要: The CO-op 3D Project involved the use of the Advanced Communications Technology Satellite to link distant supercomputers running a couple d atmosphere-ocean prediction system. The project features work in four areas: modeling, visualization, networking, and distributed comput...

关键词: Atmospheric models Ocean models Scientific visualization Distributed processing Supercomputers Air water interactions Predictions Forecasting Computer models Computer communication networks Parallel processing Data management Bandwidth Message processing Queueing theory

[最终报告]-Glutathione Transferase in the Decontamination of OP Toxins and Chlorinated Hydrocarbons.

报告号: ADA325905 发布时间: 1997-01-01

作者: Syvanen, M.

摘要: The enzyme glutathione transferase degrades organophosphate (OP) triester insecticides. Our research is targeted toward developing these enzymes for their use in nerve gas decontamination technology. To this end, progress has been made in several areas: (1) Genes and enzymes h...

关键词: Organophosphates Chlorinated hydrocarbons Degradation Decontamination Bacteria Enzymes Deoxyribonucleic acids Mutations Escherichia coli Gases Genes Esters Insecticides Nerve agents Toxins and antitoxins

[中期报告]-Effects of Fatigue and Social Environment on Performance: The Role of Feedback (Effecten van vermoeidheid en...

报告号: ADA321074 发布时间: 1996-01-01

作者: vanOrden, C. V. Gaillard, A. W. Langefeld, J. J.

摘要: This is the fourth 24 hours experiment on the effects of fatigue and social environment on performance. Subject of study is to what extent negative effects of fatigue can be compensated by the presence of another person during task performance. In this experiment is studied whether...

关键词: Jobs Performance(Human) Feedback Social psychology Fatigue(Physiology) Monitoring Cognition Memory(Psychology) Reaction time Teams(Personnel) Compensation Dutch language Foreign languages Foreign technology Rt-task(Reaction time task)

报告类型

由于科研项目周期较长，通常会产生种类繁多的报告类型，通过对其进行技术处理，整理出季度报告、中期报告、最终报告、合同户报告、备忘录、札记、简报等完整的报告类型。此外，还整理了科研项目同时产生的其他文献，有教育出版物、新闻稿、会议文献、期刊论文、学位论文、手册、皮书、标准、专利等多种类型。

- ✓ 字段补充依据 (不同为报告类型字段格式不同)
- ✓ 提高阅读效率 (依据类型，更快的发现、提炼文章核心内容，获取文献信息)

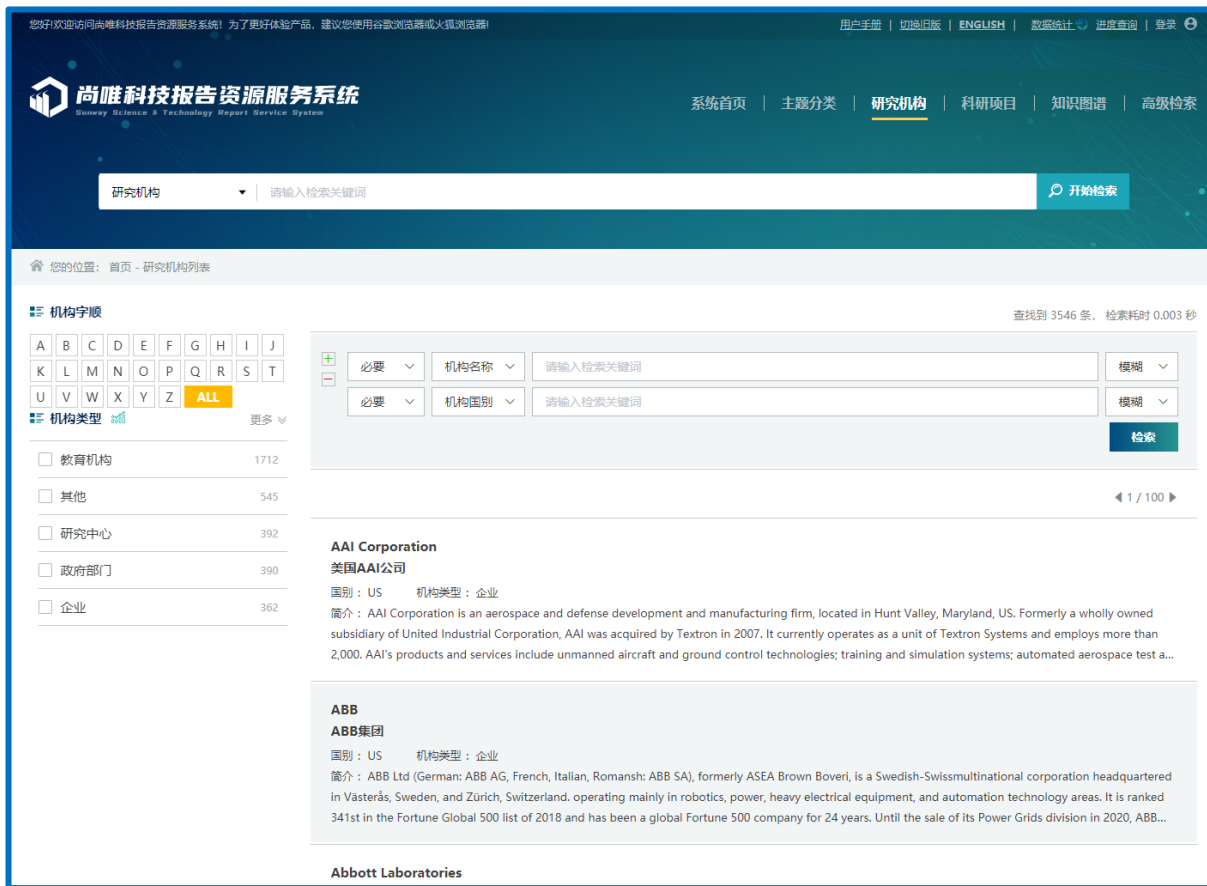
Photoinjector Generation of High-Charge Magnetized Beams for Electron-Cooling Applications	
报告号:	FERMILAB-MASTERS-2021-01
作者:	Fetterman, Aaron Thomas
关键词:	-
发布日期:	2021-01-01
研究机构:	Fermilab
赞助机构:	Office of Science
合作机构:	-
主题分类:	粒子加速器
报告涵盖时间:	-
国别:	美国
语言:	英语
页数:	66
合同编号:	AC02-07CH11359
基金编号:	-
文献类型:	学位论文
摘要:	The recently announced Electron-Ion Collider (EIC), to pursue nuclear physics research on quark-gluon plasma mitigated via a phase-space-cooling technique. One possible electron-cooling method depends on the transverse electron angular momentum dubbed as a magnetized beam. The magnetized electron beams with parameters comparable to the photo-injector available at the Fermilab Accelerator Science Center are investigated.
DOI:	-
期刊号:	-
年:	-
期:	-

	Page
List of Tables	vi
List of Figures	vii
Chapter	
1 Introduction	1
1.1 Motivation: The Electron-Ion Collider	1
1.2 Beam Emittance	3
1.3 Electron Cooling	5
1.4 Performing Experiments at FAST	7
2 Characterization and Generation of Magnetized Electron Beams	9
2.1 Magnetized Electron Beams	9

报告详情页:

新增字段, 梳理科技报告现有数据字段, 对不同来源的数据字段进行合并处理, 对不规范字段进行统一化处理, 同时回溯数据源头, 补齐字段信息, 处理出主题分类、合同编号、报告涵盖时间、赞助机构、基金编号等字段; 新增目录预览功能, 支持查看报告目录信息;

✓ 提高文献阅读效率 (更多字段, 方便了解更多文章信息)



研究机构列表

整合3000余家研究机构，支持用户通过机构名称、国别、首字母字段进行模糊/精确/短语查询；并且支持按首字母聚类、和机构类型聚类。

✓ 数据可靠

✓ 查询方便 (机构字顺、类型筛选, 名称、国别等组合检索)

机构详情页

机构详情页展示丰富的机构相关内容，帮助用户快速了解该机构的基本情况。该页面设有多个内容板块，包括**机构简介**、**相关信息**、**发文量统计**、**关联机构**、**机构报告**；

✓ 内容详实 (新增统计板块和字段)

✓ 一目了然 (板块排列整齐有序，图文结合)

Agricultural Research Service

美国农业研究院

国别: US 机构类型: 政府部门 1212 篇报告

The Agricultural Research Service (ARS) is the principal in-house research agency of the United States Department of Agriculture (USDA). ARS is one of four agencies in USDA's Research, Education and Economics mission area. ARS is charged with extending the nation's scientific knowledge and solving agricultural problems through its four national program areas: nutrition, food safety and quality; animal production and protection; natural resources and sustainable agricultural systems; and crop production and protection. ARS research focuses on solving problems affecting Americans every day. The ARS Headquarters is located in the Jamie L. Whitten... [更多...](#)

相关信息 Relevant information

基本信息	机构关系	人事信息	其他信息
外文名: Agricultural Research Service	名称: 美国农业研究院	国别: US	
成立时间: 1953-11-02	机构类型: 政府部门	辖区: United States federal government	
总部: Washington, D.C.	网址: ars.usda.gov		

发文量统计 Statistics

关联机构 Related Institutions

- National Oceanic and Atmospheric Administration
- Bureau of Industry and Safety
- Defense Threat Reduction Agency

机构报告 Institution Reports

- Corn Stover Removal Responses on Soil Test P and K Levels in Coastal Plain Ultisols**
作者: Novak, Jeffrey M., Frederick, James R., Watts, Don W., Ducey, Thomas F., Karlen, Douglas L.
摘要: Corn (Zea mays L.) stover is used as a biofuel feedstock in the U.S. Selection of stover harvest rates and P and K concentrations. Our objective was to quantify stover harvest impacts on topsoil P and K...
- Factors driving metabolic diversity in the budding yeast subphylum**
作者: Opulente, Dana A., Rollinson, Emily J., Bernick-Roehr, Cleome Hulfachor, Amanda Beth Rokas, Antonis Kurtzman, Cletus P. Hittinger, Chris Todd
摘要: Associations between traits are prevalent in nature, occurring across a diverse range of taxa and traits. Individual traits may co-evolve with one other, and these correlations can be driven by factors intrinsic or extrinsic to an organism. However, few studies, especially in microbes, have simultaneously investigated both across a broad taxonomic range. Here we quantify pairwise associations among 48 traits across 78...
- Cross-species functional diversity within the DIN auxin efflux protein family**

科研项目列表页提供项目经费、资助来源、开始年份的分组聚类，根据条件进行筛选，精确搜索结果，详情页面提供该科研项目的详细信息。

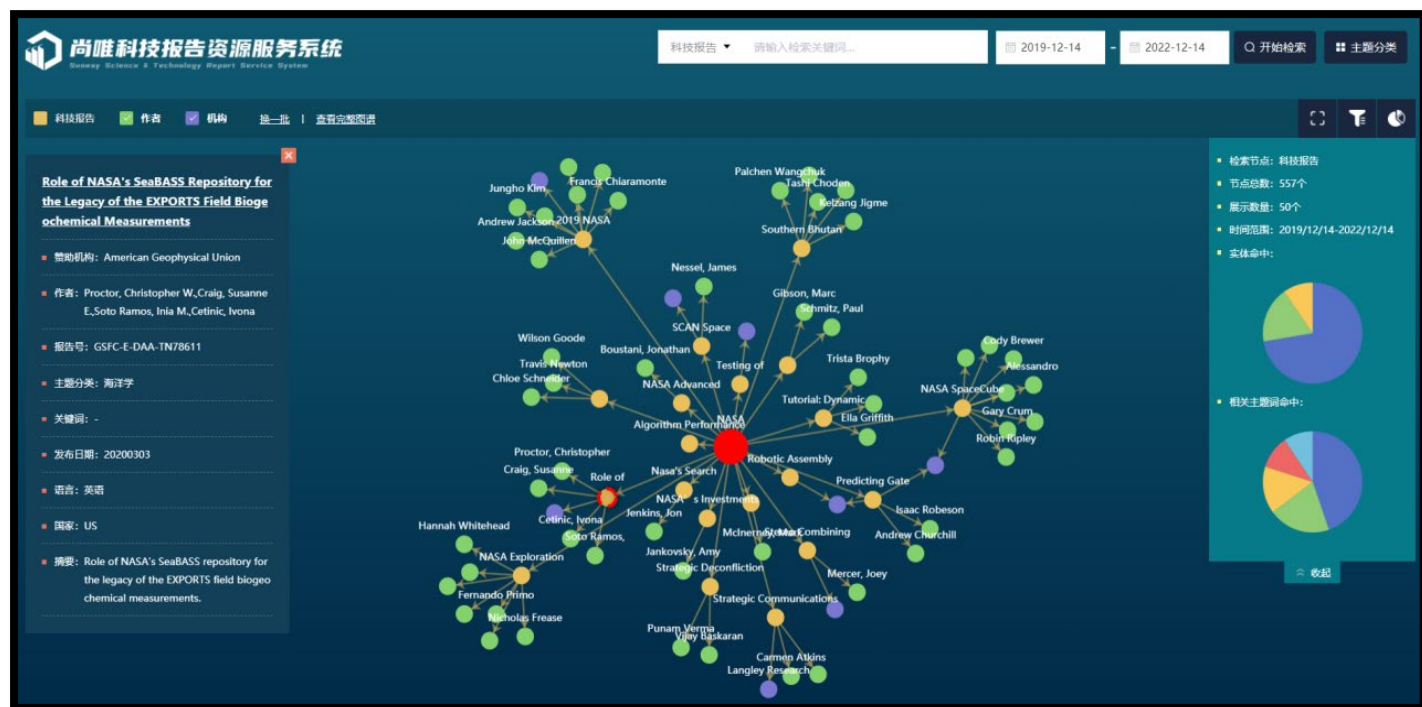
✓ 统计维度多

✓ 数据丰富

The screenshot displays a search interface for research projects. On the left, there are three filter sections: '项目经费' (Project Budget) with options like '小于100万' (24945), '大于100万小于500万' (25091), '大于500万小于1000万' (2029), and '大于1000万' (4822); '资助来源' (Funding Source) with options like 'jp-jsps' (31180), 'us-nsf' (6312), 'uk-epsrc' (4350), 'uk-innovateuk' (4122), and 'au-arc' (2249); and '开始年份' (Start Year) with '2022' (5). The main area shows search filters for '项目名称' and '项目编号', both set to '必要' (Required), with a date range from 2020 to 2022. A search button is present. Below the filters, there are options for 'Excel格式' (Excel Format) and '导出' (Export). The search results are sorted by '时间' (Time) in descending order, showing 1/100 results. Two project details are visible: 'Cross-layer Design for Ultra-reliable Low-latency Communications' by Dr Changyang She, The University of Sydney, with funding of 437719.00 USD and dates 2022-06-30/2025-06-29; and 'Understanding long-term human-environmental interactions in South Asia' by Dr Patrick Faulkner, The University of Sydney, with funding of 967186.00 USD and dates 2022-02-01/2026-01-31.

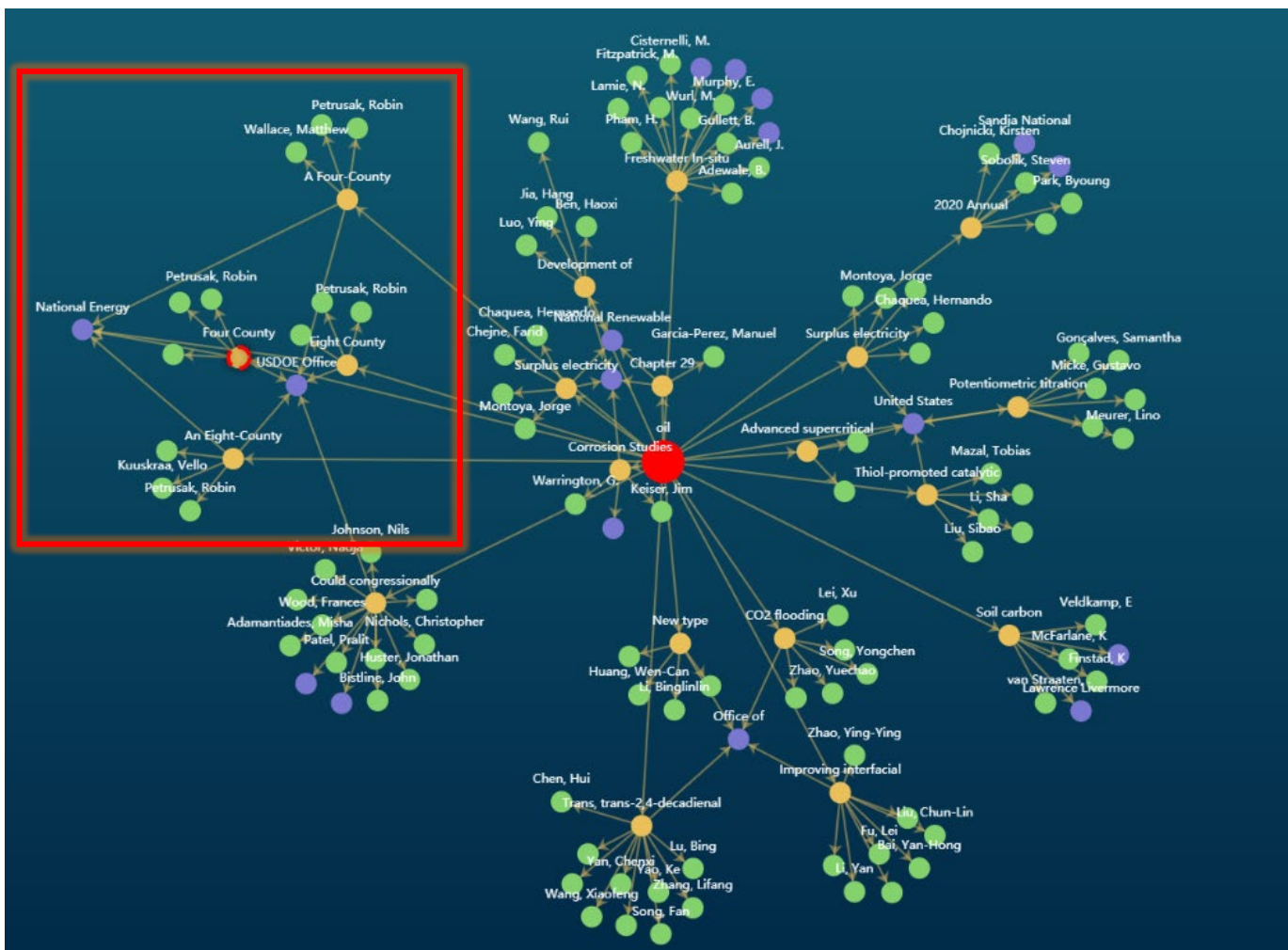
功能介绍

Function Introduction



知识图谱页面默认展示名称含NASA的报告节点。提供报告关联图谱信息展示，并以报告题目为中心，连接到作者和机构信息；通过信息卡，展示图谱节点相关信息；同时可对图谱进行“全屏/筛选/统计”等操作。

- ✓ 知识梳理与整合
- ✓ 帮助研究机构合作、作者合作关系
- ✓ 帮助发现机构兴趣领域、研究重点



应用举例

以科技报告为检索字段，键入“oil”进行检索，得到以下图谱，以“Four County Permian Basin San Andres Residual Oil Zone (ROZ) Database”为例，通过节点之间的连线组成的可视化图形，可以发现机构合作共现网络，从中分析合作关系与合作次数，从而判断机构合作网络整体联系与紧密程度，能对机构外部合作关系进行科学的度量；此外，也可以发现作者合作网络，顺着合作研究者的研究轨迹对该领域进行更加深入的了解，借此了解特定领域，发现学科生长点，以及寻找自己的合作伙伴，为制定科研合作战略提供参考。

检索类型: 科技报告 研究机构 科研项目

检索关键词:

年份选择:

检索说明: 高级检索支持使用运算符*、+、-、"、"、()进行同一检索项内多个检索词的组合运算，检索框内输入的内容不得超过120个字符。

输入运算符*(与)、+(或)、-(非)时，前后要空一个字节，优先级需用英文半角括号确定。

若检索词本身含空格或*、+、-、()、/、%、=等特殊符号，进行多词组合运算时，为避免歧义，须将检索词用英文半角单引号或英文半角双引号引起来。

例如：

- (1) 篇名检索项后输入：神经网络 * 自然语言，可以检索到篇名包含“神经网络”及“自然语言”的文献。
- (2) 主题检索项后输入：(锻造 + 自由锻) * 裂纹，可以检索到主题为“锻造”或“自由锻”，且有关“裂纹”的文献。
- (3) 如果需检索篇名包含“DIGITAL LIBRARY”和“INFORMATION SERVICE”的文献，在篇名检索项后输入：'DIGITAL LIBRARY' * 'INFORMATION SERVICE'。
- (4) 如果需检索篇名包含“2+3”和“人才培养”的文献，在篇名检索项后输入：'2+3' * 人才培养。

高级检索页面支持对检索类型、关键词、年份信息进行控制。

- ✓ 条件更丰富
- ✓ 检索更精准



样例展示



AFRL-RX-TY-TR-2012-0023

SYNTHESIS AND CHARACTERIZATION OF ANTIMICROBIAL NANOMATERIALS

Heather R. Luckarift, D. Matthew Eby, Karen E. Farrington, Randi N. Tatum
Universal Technology Corporation
1270 North Fairfield Road
Dayton, OH 45432

Glenn R. Johnson
Airbase Technologies Division
Air Force Research Laboratory
139 Barnes Drive, Suite 2
Tyndall Air Force Base, FL 32403-5323

Contract No. FA4819-07-D-0001

January 2013

DISTRIBUTION A: Approved for public release; distribution unlimited.
88ABW-2013-1007, 1 March 2013.

AIR FORCE RESEARCH LABORATORY
MATERIALS AND MANUFACTURING DIRECTORATE

■ Air Force Materiel Command ■ United States Air Force ■ Tyndall Air Force Base, FL 32403-5323

ion

Silicification

olytic condensation of silica sol-gels, lysozyme was identified as a nplates the precipitation of silica nanoparticles and produces a ns the native antimicrobial properties of lysozyme.^{21, 26, 27} Despite rix, the immobilized lysozyme retains its native hydrolase activity; le oligosaccharide substrates and lyse the cell wall of the bacterial leus.²¹ The discovery that that the lysozyme immobilized within the fective bacteriolytic activity was unexpected because to exhibit ust directly interact with the bacterium. The structural properties of therefore investigated using a combination of SEM, TEM and ealed that the composite has a hierarchical structure composed of proximately 450 nm in diameter, which are in turn composed of ctures of approximately 8–10 nm in diameter. Using SANS with sible to separate the scattering signatures of the lysozyme and silica rmore, it was determined that the lysozyme molecules are spatially d form clusters with colloidal silica particles. The size of the clusters well with the structural architecture observed by TEM (Figure 1).

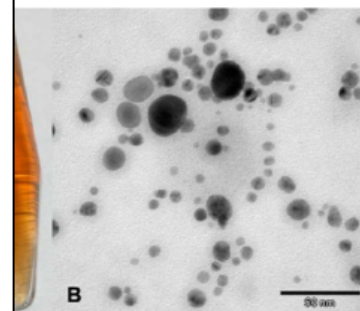


entation of the Hierarchical Structure for the Silica-lysozyme ematic Drawing of Fundamental Silica-lysozyme Cluster as Gray Spheres while Lysozyme Molecules are Presented in Based on SEM, TEM and SANS Analysis); (B) Aggregates of ek square in B Corresponds to Panel A]. (C) Quasi-spherical ative Structures [Black Square in C Corresponds to Panel B]

e must be able to diffuse from the composite material because it bacterium to disrupt the cell wall structure. Although our structural rganized sol-gel synthesis that generates a functional material, it he dynamic properties of the entrapped protein that result in its nformation is critical for understanding the biomineralization g the reaction for biomolecule immobilization in practical

5

r public release; distribution unlimited. 88ABW-2013-1007, 1 March 2013.



Silver Nanoparticles Formed in Lysozyme-catalyzed Process;
) TEM Image of Silver Nanoparticles

ter Composites to Surgical Surfaces

hanol, lysozyme acted as the primary reducing agent and of silver (Figure 4). The enzyme also acted as an effective n be stored in a concentrated form in methanol or water for n physical or chemical properties. Furthermore, the colloid homogeneous enzyme and silver coatings on surgical steel.³⁰ s were deposited on surgical stainless steel blades and needles ition technique. Electrodeposited films firmly adhered to stainless ive washing and retained the hydrolytic properties of lysozyme.

coatings was tested by using blades and needles in an *in vitro* lytic ormal application of the instruments. Coated blades and needles nd punctures, respectively, into agarose infused with bacterial ared zones at the contact sites, demonstrating that antimicrobial media, as well as retained on the surface of the blades and needles. icrobial activity against a range of bacterial species. In particular, tent bactericidal activity, reducing cell viability by at least 3 log *umoniae*, *B. anthracis* Sterne, and *B. subtilis* and within 3 h for *S. yti*. The results confirmed that complex antimicrobial coatings can s for silver nanoparticle synthesis and electrodeposition, e coatings are a self-cleaning surface, but that they can also into a subject during use (Figure 5).

9

public release; distribution unlimited. 88ABW-2013-1007, 1 March 2013.

“抗菌纳米材料的合成与表征”

样例展示

above the surface and Figure 7 shows, respectively, the HDD (a) and CDD (b) maps for the CONUS region.

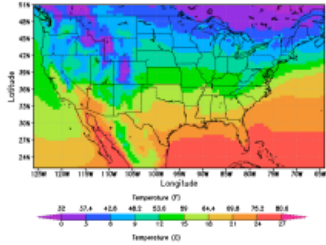


Fig. 6: Near surface temperature map constructed using MERRA temperatures at 2m above surface.

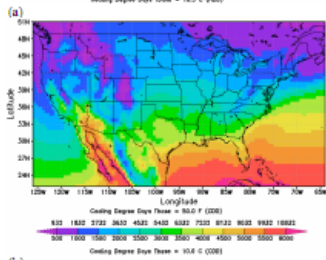
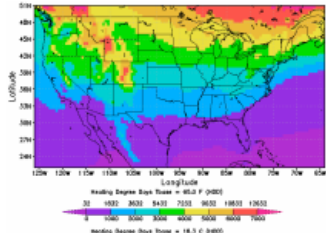


Fig. 7: HDD (a) and CDD (b) map constructed using MERRA near surface temperatures.

Fig. 8: is the CONUS climate zone map and Figure 9 is a World climate zone map both based upon MERRA temperatures. Note also that we have included a new climate designated as zone 0 in these maps which is under review by the Climate Committee within ASHRAE. Climate zone 0 is characterized as being extremely hot (i.e. $CDD50^{\circ}F > 10,800$, $CDD10^{\circ}C > 6000$) either in a dry or humid environment.

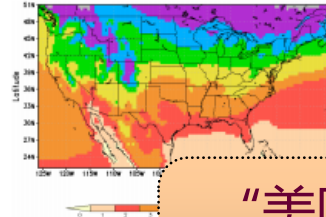


Fig. 8a: CONUS climate zone climate zone 0.

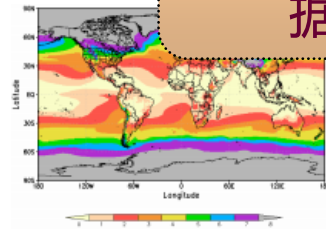


Fig. 9: Climate zone of the world based on MERRA temperatures.

6. LONG-TERM SURFACE METEOROLOGICAL PRODUCTS FROM MERRA

The POWER project has provided near real-time daily averaged radiation and meteorological time series data via the Internet for several years on a 1x1 degree scale. The time series data has a begin date of January 1, 1983 for meteorology and July 1, 1983 for radiation. The data stream is appended to as soon as the data become available. Typically, the meteorology is current to within

ies defined by

Tmin, and Tmax versus reporting a within the ft corner of ast squares E and

h color. degree of .94), and over 80% a central

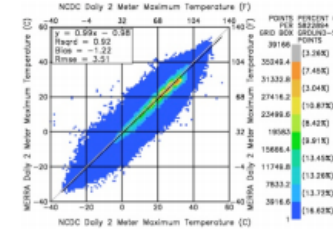
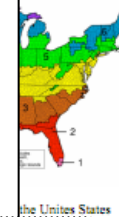


Fig. 2: Scatter plots of the MERRA temperatures (Tave, Tmin, and Tmax) for 1/2x1/2 degree grid boxes versus observations from surface stations contained within those MERRA grid boxes. The correlation coefficient is 0.99.

“美国宇航局对全球能源资源数据的高分辨率气象预报”

based upon MERRA and to the equivalent values based upon surface temperatures. The surface based HDD and CDD values were taken from the ASHRAE Weather Data Viewer (WDV) CD-version 4 which provided the annual averaged values at surface sites over the years 1982 – 2006. Accordingly, only MERRA temperatures for these years were used. HDD and CDD were calculated using Eqs. (1) and (2). Figures 4 and 5 show scatter plots of the annual averaged heating and cooling degree days based upon MERRA hourly temperatures for MERRA cell overlapping the respective surface sites and values extracted from the ASHRAE WDV-4 for 1,105 surface stations in the CONUS study region. The HDD and CDD are averaged over the years 1982 – 2006. For both the annual HDD and CDD the MERRA based values are greater than the ASHRAE values based upon surface site observations by 85 °C days (Figure 4) and 95 °C days (Figure 5) respectively. However, both of these biases are well within the value of their respective standard deviations (HDD ± 268 °C days; CDD ± 281 °C days), given in the lower left box on each figure.

a partnership with ped climate zone



the United States

2. MERRA

As part of making data sets available for societal benefit, the POWER project focuses upon providing data quality information. In this case, we are making available data sets from NASA's Modern Era Retrospective-analysis for Research and Applications (MERRA) data products [1] [2]. MERRA is an atmospheric data assimilation system that produces long-term estimates of key atmospheric meteorological variables at the surface and throughout the atmosphere. In this paper, we focus upon the hourly near surface (i.e. 2m elevation) meteorological quantities with the native resolution remapped to 1/2x1/2 degree horizontal resolution.

The NASA Global Modeling and Assimilation Office Modern Era Retrospective-analysis for Research and Applications (MERRA) assimilation model provides a temporally continuous and global meteorological data set spanning the time period from 1981 through near-present time. Briefly, the MERRA assimilation model is a general circulation model that provides estimates of various parameters via "An atmospheric analysis performed within a data assimilation context [that] seeks to combine in some 'optimal' fashion the information from irregularly distributed atmospheric observations with a model state obtained from a forecast initialized from a previous analysis." The model seeks to assimilate and optimize observational data and model estimates of atmospheric variables. Types of observations used in the analysis include (1) land surface observations of surface pressure; (2) ocean surface observations of sea level pressure and winds; (3) sea level winds inferred from backscatter returns from space-borne radars; (4) conventional upper-air data from rawinsondes (e.g., height, temperature, wind and moisture); (5) additional sources of upper-air data including drop sondes, pilot balloons, and aircraft winds; and (6) remotely sensed information from satellites (e.g. height and moisture profiles, total precipitable water, and single level cloud motion vector winds obtained from geostationary satellite images).

The initial output from MERRA provides hourly surface and vertically resolved meteorological parameters at a global resolution of 0.5° latitude by 0.67° longitude from 1981 to near-present time. For this analysis, a bilinear interpolation was used to regrid the MERRA data to a resolution of 0.5° latitude by 0.5° longitude. We note in particular that the MERRA temperatures represent values averaged over the half-degree grid at an elevation of 2m. In complex terrain the average elevation of the MERRA half-degree grid box is likely to be different from a surface site contained within the borders of the box.



04

操作演示



<http://bg.sunwayinfo.com.cn/>





尚唯科技报告资源服务系统

Sunway Science & Technology Report Service System

谢谢!



重庆尚唯信息技术有限公司

CHONGQING SUNWAY INFORMATION TECHNOLOGY CO.,LTD